

# МАТЕМАТИЧЕСКАЯ МОДЕЛЬ БАЛЛИСТИЧЕСКОГО ЛЕТАТЕЛЬНОГО АППАРАТА С ПЕРЕМЕННЫМИ МАССОГЕОМЕТРИЧЕСКИМИ ХАРАКТЕРИСТИКАМИ

**В.Б. Федоров**

Представлена динамическая модель осесимметричного баллистического летательного аппарата с переменными массогеометрическими характеристиками. Летательный аппарат представлен как система двух тел с возможностью их взаимного перемещения.

*Ключевые слова:* баллистический летательный аппарат, динамическая модель, массогеометрические характеристики.

## Анализ проблемы и постановка задачи исследования

Движение летательных аппаратов (ЛА) в атмосфере определяется гравитационным полем Земли, воздействием набегающего атмосферного потока на наружную поверхность (НП) ЛА, массогеометрическими характеристиками (МГХ) ЛА – массой, координатами центра масс (ЦМ), значениями осевых и центробежных моментов инерции. Геометрические характеристики НП ЛА, взаимное расположение конструктивных элементов и составных частей ЛА определяются в конструкторской документации и описываются в конструкторской системе координат (КСК). В частности, для баллистических ЛА (БЛА) начало КСК помещают в точке  $O$  (рис. 1), положение которой привязано к конструктивным элементам летательного аппарата (например, лежит в плоскости одного из шпангоутов и является центром окружности расположения осей базирующих штифтовых отверстий). Ось  $OX_o$  (рис. 1) КСК направлена к носку БЛА и перпендикулярна плоскости базового шпангоута, ось  $OY_o$  перпендикулярна оси  $OX_o$  и расположена в плоскости ориентации I–III БЛА, ось  $OZ_o$  дополняет тройку осей до правой. Для рассматриваемого класса БЛА номинальное положение оси  $OX_o$  КСК совпадает с осью симметрии его наружной поверхности.

В процессе изготовления летательного аппарата возникают случайные отклонения геометрических характеристик НП и МГХ БЛА от заданных в конструкторской документации значений. Во время полета в результате взаимодействия с высокоскоростным, высокотемпературным атмосферным потоком возможно изменение геометрии НП и МГХ БЛА.

Отклонение реальных параметров БЛА от их допустимых диапазонов значений во время движения может привести к формированию возмущенной траектории полета БЛА.

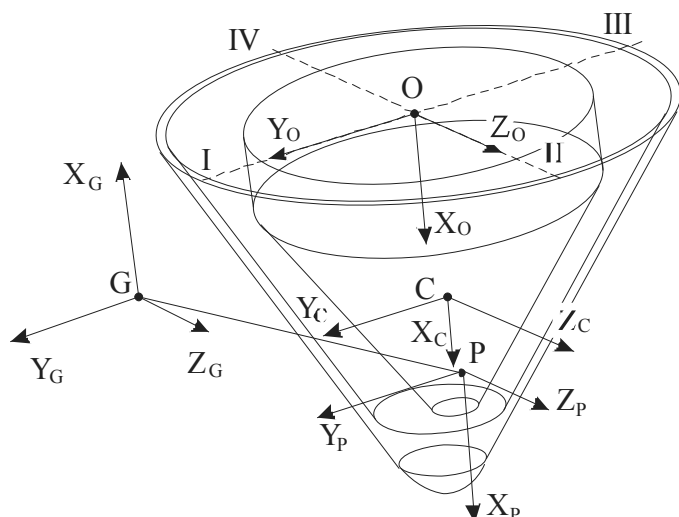


Рис. 1. Основные системы координат, используемые для построения математической модели

### Математическая модель БЛА с переменными МГХ

Рассмотрим модель БЛА как систему двух тел, имеющую внутренние связи и допускающую взаимные перемещения тел, входящих в нее. В качестве первого тела (платформы) примем корпус БЛА, в качестве второго – полезный груз (ПГ).

Начало связанный с БЛА опорной системой координат (ОСК) – полюс  $P$  совпадает с номинальным положением ЦМ БЛА, заданным в КСК  $OX_oY_oZ_o$ . Направление осей ОСК совпадает с номинальным направлением осей КСК БЛА. В ОСК определена главная центральная система координат (ГЦСК) БЛА  $CX_cY_cZ_c$ , где  $C$  – центр масс БЛА. Движение полюса  $P$  рассматривается в инерциальной, геоцентрической СК  $GX_GY_GZ_G$  (рис. 1). Угловое расположение ОСК, связанной с корпусом ЛА, относительно СК  $GX_GY_GZ_G$  задается тремя углами Крылова (тангажа  $\phi$ , крена  $\eta$  и рыскания  $\xi$ ).

Для независимого изменения всех МГХ изделия в сборе второе тело ПГ может изменять положение относительно платформы по трем линейным и трем угловым координатам. МГХ и аэродинамических характеристик (АХ) корпуса БЛА могут медленно меняться в полете в небольших пределах. Оценка закона изменения МГХ и АХ корпуса БЛА во время полета может быть получена на основании зависимостей, приведенных в [2].

В общем случае, для получения уравнений движения системы твердых тел можно использовать уравнения Лагранжа второго рода. В частности, такая процедура применяется при выводе уравнений движения механических систем роботов-манипуляторов [4]. В случае системы, состоящей из двух тел, имеющих в сумме двенадцать степеней свободы, математическая модель будет включать сорок восемь дифференциальных уравнений, определяющих траекторию движения системы. Для изучения точных моделей сложных систем тел с изменяющимися МГХ целесообразно использовать специализированные системы анализа динамики механических систем, такие как АДАМС, «Универсальные механизмы» и другие. Однако эффективность работы таких инструментов зависит от корректности определения начальных, граничных условий задачи, диапазона изменения параметров модели.

Для получения необходимых предварительных оценок воспользуемся подходом, описанным в [1], где для изучения поведения БЛА с медленно меняющимися МГХ используются уравнения движения свободного твердого тела.

Нормальная форма Коши системы уравнений (при условии независимости главного вектора и главного момента внешних сил от линейного и углового ускорений) может быть записана в матричной форме:

$$\begin{cases} \dot{V}_P = \frac{1}{M} \sum_j F^{(j)} - \Omega V_P - \Omega^2 \rho + P(J^{(O)} + mP^2)^{-1} \times [\sum_j m_P^{(j)} - P \sum_j F^{(j)} - \Omega J^{(O)} \varpi + MP\Omega^2 \rho] \\ \dot{\varpi} = (J^{(P)} + mP^2)^{-1} [\sum_j M_P^{(j)} - P \sum_j f^{(j)} - \Omega J^{(O)} \Omega + MP\Omega^2 \rho], \end{cases} \quad (1)$$

где  $m$  – масса летательного аппарата,  $V_P = [v_{Px}, v_{Py}, v_{Pz}]^T$  – вектор линейной скорости полюса  $P$  ОСК,  $\dot{V}_P = [\dot{v}_{Px}, \dot{v}_{Py}, \dot{v}_{Pz}]^T$  – вектор линейного ускорения полюса  $P$  ОСК,  $F^{(j)} = [F_x^{(j)}, F_y^{(j)}, F_z^{(j)}]^T$  – главный вектор внешних аэродинамических сил, действующих на НП БЛА. Главный момент внешних аэродинамических сил, действующих на наружную поверхность БЛА, обусловленный асимметрией формы его НП и несовпадением точек ЦМ и центра давления, –  $M_P^{(j)} = [m_{Px}^{(j)}, m_{Py}^{(j)}, m_{Pz}^{(j)}]^T$ . Вектор угловой скорости БЛА в ОСК –  $\varpi = [\varpi_x, \varpi_y, \varpi_z]^T$  ( $\varpi_x = \dot{\eta}$ ,  $\varpi_y = \dot{\xi}$ ,  $\varpi_z = \dot{\phi}$ ), где  $\eta$ ,  $\xi$ ,  $\phi$  – углы ориентации ОСК БЛА относительно осей  $GX_GY_GZ_G$ .

Вектор углового ускорения БЛА в ОСК –  $\dot{\varpi} = [\dot{\varpi}_x, \dot{\varpi}_y, \dot{\varpi}_z]^T$ . Угол атаки БЛА –  $\alpha_n = \sqrt{\xi^2 + \phi^2}$ . Вектор положения ЦМ БЛА в его ОСК –  $\rho = [\rho_x, \rho_y, \rho_z]^T$ ,

## Расчет и конструирование

$\Omega = \begin{bmatrix} 0 & -\omega_z & \omega_y \\ \omega_z & 0 & -\omega_x \\ -\omega_y & \omega_x & 0 \end{bmatrix}$  – матрица компонентов вектора угловой скорости БЛА,

$P = \begin{bmatrix} 0 & -\rho_z & \rho_y \\ \rho_z & 0 & -\rho_x \\ -\rho_y & \rho_x & 0 \end{bmatrix}$  – матрица компонентов вектора положения ЦМ в КСК,

$J^{(P)} = \begin{bmatrix} J_x^{(P)} & -J_{xy}^{(P)} & -J_{xz}^{(P)} \\ -J_{yx}^{(P)} & J_y^{(P)} & -J_{yz}^{(P)} \\ -J_{zx}^{(P)} & -J_{zy}^{(P)} & -J_z^{(P)} \end{bmatrix}$  – тензор инерции БЛА в КСК.

Левые части уравнений (1), а именно линейные и угловые ускорения определяются соотношением внешних силовых факторов, линейными и угловыми скоростями, а также МГХ БЛА, записанными в правых частях уравнений. Возникающие отклонения аэродинамических сил и моментов БЛА от их проектных значений могут компенсироваться изменением МГХ и кинематических параметров БЛА. При этом левые части уравнений (1) могут сохранять проектные значения, что обеспечит движение по заданной траектории. В частности, в работе [5] рассматривается возможность использования разности смещений аэродинамического фокуса и ЦМ для определения эффективных плеч аэродинамических сил относительно оси вращения по крену.

Эта особенность законов движения ЛА используется на практике, в частности, в ЛА с «балансирной» схемой управления (дельтапланы, парапланы). Известны также схемы управления движением БЛА путем изменения продольной координаты его центра масс в сочетании с созданием управляющих аэродинамических моментов с помощью газодинамических рулей. Во всех этих схемах специальными способами, заложенными в конструкции ЛА, изменяется взаимное положение центра масс ЛА и точки приведения главного вектора аэродинамических сил.

Дополним уравнения (1) выражениями, определяющими МГХ системы, через МГХ составляющих ее тел. Прежде всего, определим дополнительные системы координат (рис. 2) – подвижную относительно ОСК главную центральную систему координат (ГЦСК) ПГ  $LX_lY_lZ_l$  и неподвижную относительно ОСК, ГЦСК корпуса  $KX_kY_kZ_k$ .

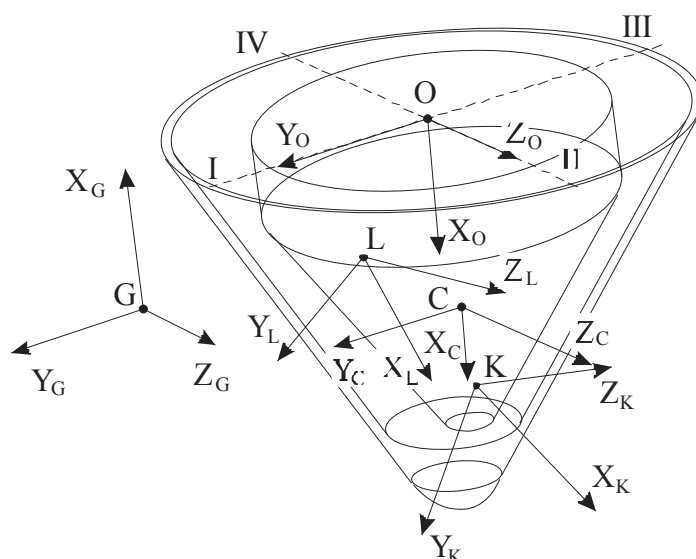


Рис. 2. Системы координат БЛА с переменными МГХ

Положение ГЦСК ПГ и корпуса относительно ОСК заданы углами Крылова  $\varphi_l, \eta_l, \xi_l$ ,  $\varphi_k, \eta_k, \xi_k$  и векторами  $\rho_k, \rho_l$ , определяющим положение точек ЦМ  $L$  и  $K$  в ОСК. Положим, что вследствие малости возникающих на этапе производства и во время полета асимметрий распределения массы в ОСК, возможные потребные перемещения ПГ относительно корпуса малы. Обозначим также:  $M_k, M_l$  – массы корпуса и ПГ,  $M = M_k + M_l$  – масса изделия в сборе,  $J^{(k)}$ ,  $J^{(l)}$  – тензоры инерции корпуса и ПГ в ОСК,  $J^{(p)}$  – тензор инерции летательного аппарата в ОСК. Кроме того, определим следующие ограничения:  $J_{Yup} = J_{Zup}$ ,  $J_{Xup} \leq 0,1J_{Zup}$ ,  $|\delta J| \leq 0,01J_{\Pi}$ .

Тензоры инерции  $J^{(p)}, J^{(k)}, J^{(l)}$  БЛА, корпуса и ПГ относительно ОСК, по теореме Гюйгенса-Штейнера [1, 3] определяются формулами:

$$J^{(p)} = A_c^T J^{(C)} A_c + M \left( E \rho_c^2 - \rho_c \rho_c \right);$$

$$J^{(k)} = A_k^T J^{(K)} A_k + M_k \left( E \rho_k^2 - \rho_k \rho_k \right);$$

$$J^{(l)} = A_l^T J^{(L)} A_l + M_l \left( E \rho_l^2 - \rho_l \rho_l \right),$$

где  $J^{(C)}, J^{(p)}$  – тензоры инерции БЛА в ГЦСК и ОСК соответственно,

$$\rho_c = [x_c, y_c, z_c]^T – радиус-вектор точки С ЦМ БЛА в ОСК,$$

$$J^{(K)}, J^{(k)}, J^{(L)}, J^{(l)} – тензоры инерции корпуса и ПГ в ГЦСК и ЦСК соответственно,$$

$$\rho_k = [x_k, y_k, z_k]^T, \rho_l = [x_l, y_l, z_l]^T – радиус-векторы точек К и L ЦМ корпуса и ПГ в ОСК,$$

$$\rho_c^2 = x_c^2 + y_c^2 + z_c^2, \rho_k^2 = x_k^2 + y_k^2 + z_k^2, \rho_l^2 = x_l^2 + y_l^2 + z_l^2 – скалярные квадраты,$$

$$\rho_c \rho_c, \rho_l \rho_l, \rho_k \rho_k – диадные произведения,$$

$A_c, A_k, A_l$  – матрицы преобразования координат БЛА, корпуса и ПГ из ЦСК (оси которых параллельны осям ОСК) в ГЦСК, составленные из направляющих косинусов осей, соответствующих ГЦСК в ЦСК, которые являются функциями трех углов Крылова  $\varphi, \eta, \xi$ ,  $\varphi_k, \eta_k, \xi_k$ ,  $\varphi_l, \eta_l, \xi_l$ :

$$A_c = \begin{pmatrix} a^c_{11} & a^c_{12} & a^c_{13} \\ a^c_{21} & a^c_{22} & a^c_{23} \\ a^c_{31} & a^c_{32} & a^c_{33} \end{pmatrix}, \quad A_k = \begin{pmatrix} a^k_{11} & a^k_{12} & a^k_{13} \\ a^k_{21} & a^k_{22} & a^k_{23} \\ a^k_{31} & a^k_{32} & a^k_{33} \end{pmatrix}, \quad A_l = \begin{pmatrix} a^l_{11} & a^l_{12} & a^l_{13} \\ a^l_{21} & a^l_{22} & a^l_{23} \\ a^l_{31} & a^l_{32} & a^l_{33} \end{pmatrix}.$$

Радиус-вектор центра масс  $\rho_c$  изделия в сборе может быть определен, как функция радиус-векторов центров масс в ОСК и масс, составляющих изделие элементов:

$$\rho_c = \frac{M_k}{M} \rho_k + \frac{M_l}{M} \rho_l, \text{ или } x_c = \frac{M_k}{M} x_k + \frac{M_l}{M} x_l, y_c = \frac{M_k}{M} y_k + \frac{M_l}{M} y_l, z_c = \frac{M_k}{M} z_k + \frac{M_l}{M} z_l.$$

Тензор инерции БЛА, корпуса и ПГ в их ГЦСК соответственно:

$$J^{(C)} = \begin{bmatrix} J_x^{(C)} & 0 & 0 \\ 0 & J_y^{(C)} & 0 \\ 0 & 0 & J_z^{(C)} \end{bmatrix}, \quad J^{(K)} = \begin{bmatrix} J_x^{(K)} & 0 & 0 \\ 0 & J_y^{(K)} & 0 \\ 0 & 0 & J_z^{(K)} \end{bmatrix}, \quad J^{(L)} = \begin{bmatrix} J_x^{(L)} & 0 & 0 \\ 0 & J_y^{(L)} & 0 \\ 0 & 0 & J_z^{(L)} \end{bmatrix}.$$

Вследствие малости величин углов  $\varphi, \eta, \xi, \varphi_k, \eta_k, \xi_k, \varphi_l, \eta_l, \xi_l$  (менее 5 градусов), выражения для компонент матриц преобразования координат можно упростить [1]:

$$a^c_{11} = 1, a^c_{12} = \varphi, a^c_{13} = -\xi, \quad a^k_{11} = 1, a^k_{12} = \varphi_k, a^k_{13} = -\xi_k, \quad a^l_{11} = 1, a^l_{12} = \varphi_l, a^l_{13} = -\xi_l,$$

$$a^c_{21} = -\varphi, a^c_{22} = 1, a^c_{23} = \eta, \quad a^k_{21} = -\varphi_k, a^k_{22} = 1, a^k_{23} = \eta_k, \quad a^l_{21} = -\varphi_l, a^l_{22} = 1, a^l_{23} = \eta_l,$$

$$a^c_{31} = \xi, a^c_{32} = -\eta, a^c_{33} = 1. \quad a^k_{31} = \xi_k, a^k_{32} = -\eta_k, a^k_{33} = 1. \quad a^l_{31} = \xi_l, a^l_{32} = -\eta_l, a^l_{33} = 1.$$

Выражения для компонентов тензоров инерции БЛА, корпуса и ПГ в их соответствующих ЦСК с учетом допущений также существенно упростятся:  $J_x^c = J_x^C$ ,  $J_y^c = J_y^C$ ,  $J_z^c = J_z^C$ ,

$$J_{xy}^c = \varphi (J_x^C - J_y^C), \quad J_{xz}^c = \xi (J_x^C - J_z^C), \quad J_{yz}^c = \eta (J_y^C - J_z^C),$$

## Расчет и конструирование

---

$$\begin{aligned} J^l_x &= J^L_X, \quad J^l_y = J^L_Y, \quad J^l_z = J^L_Z, \quad J^l_{xy} = \varphi_l(J^L_X - J^L_Y), \quad J^l_{xz} = \xi_l(J^L_Z - J^L_X), \\ J^l_{yz} &= \eta_l(J^L_Z - J^L_Y), \quad J^K_x = J^K_X, \quad J^K_y = J^K_Y, \quad J^K_z = J^K_Z, \quad J^K_{xy} = \varphi_k(J^K_X - J^K_Y), \\ J^K_{xz} &= \xi_k(J^K_Z - J^K_X), \quad J^K_{yz} = \eta_k(J^K_Z - J^K_Y). \end{aligned}$$

Выражения для  $J^{(p)}$ ,  $J^{(l)}$ ,  $J^{(k)}$ ,  $M(E\rho_c^2 - \rho_c\rho_c)$ ,  $M_k(E\rho_k^2 - \rho_k\rho_k)$ ,  $M_l(E\rho_l^2 - \rho_l\rho_l)$  можно представить в виде:

$$\begin{aligned} J^{(l)} &= \begin{bmatrix} J^L_X & -\varphi_l(J^L_X - J^L_Y) & -\xi_l(J^L_Z - J^L_X) \\ -\varphi_l(J^L_X - J^L_Y) & J^L_Y & -\eta_l(J^L_Z - J^L_Y) \\ -\xi_l(J^L_Z - J^L_X) & -\eta_l(J^L_Z - J^L_Y) & J^L_Z \end{bmatrix}; \\ J^{(p)} &= \begin{bmatrix} J^P_X & -\varphi(J^P_X - J^P_Y) & -\xi(J^P_Z - J^P_X) \\ -\varphi(J^P_X - J^P_Y) & J^P_Y & -\eta(J^P_Z - J^P_Y) \\ -\xi(J^P_Z - J^P_X) & -\eta(J^P_Z - J^P_Y) & J^P_Z \end{bmatrix}; \\ J^{(k)} &= \begin{bmatrix} J^K_X & -\varphi_k(J^K_X - J^K_Y) & -\xi_k(J^K_Z - J^K_X) \\ -\varphi_k(J^K_X - J^K_Y) & J^K_Y & -\eta_k(J^K_Z - J^K_Y) \\ -\xi_k(J^K_Z - J^K_X) & -\eta_k(J^K_Z - J^K_Y) & J^K_Z \end{bmatrix}; \\ M(E\rho_c^2 - \rho_c\rho_c) &= \begin{bmatrix} M(y_c^2 + z_c^2) & -Mx_cy_c & -Mx_cz_c \\ -Mx_cy_c & M(x_c^2 + z_c^2) & -My_cz_c \\ -Mx_cz_c & -Mcy_c, z_c & Mc(x_c^2 + y_c^2) \end{bmatrix}; \\ M_k(E\rho_k^2 - \rho_k\rho_k) &= \begin{bmatrix} M_k(y_k^2 + z_k^2) & -M_kx_ky_k & -M_kx_kz_k \\ -M_kx_ky_k & M_k(x_k^2 + z_k^2) & -M_ky_kz_k \\ -M_kx_kz_k & -M_ky_k, z_k & M_k(x_k^2 + y_k^2) \end{bmatrix}; \\ M_l(E\rho_l^2 - \rho_l\rho_l) &= \begin{bmatrix} M_l(y_l^2 + z_l^2) & -M_ly_ly_l & -M_ly_lz_l \\ -M_ly_ly_l & M_l(x_l^2 + z_l^2) & -M_ly_lz_l \\ -M_ly_lz_l & -M_ly_l, z_l & M_l(x_l^2 + y_l^2) \end{bmatrix}. \end{aligned}$$

Тензор инерции  $J^{(p)}$  БЛА в его ОСК может быть определен через тензоры инерции ПГ  $J^{(l)}$  и корпуса  $J^{(K)}$ , в соответствующих ГЦСК, по следующей зависимости:

$$J^{(p)} = A_k^T J^{(K)} A_k + M_k(E\rho_k^2 - \rho_k\rho_k) + A_l^T J^{(l)} A_l + M_l(E\rho_l^2 - \rho_l\rho_l).$$

Компоненты  $J^{(p)}$ , а именно  $J_{xy}^{(p)}$ ,  $J_{xz}^{(p)}$ ,  $J_{yz}^{(p)}$ , могут быть записаны в виде:

$$\begin{aligned} J_{xy}^{(p)} &= \varphi(J^P_X - J^P_Y) + Mx_cy_c = \varphi_l(J^l_X - J^l_Y) + \varphi_k(J^K_X - J^K_Y) + M_kx_ky_k + M_ly_ly_l; \\ J_{xz}^{(p)} &= \xi(J^P_Z - J^P_X) + Mx_cz_c = \xi_l(J^l_Z - J^l_X) + \xi_k(J^K_Z - J^K_X) + M_kx_kz_k + M_ly_lz_l; \\ J_{yz}^{(p)} &= \eta(J^P_Z - J^P_Y) + My_cz_c = \eta_l(J^l_Z - J^l_Y) + \eta_k(J^K_Z - J^K_Y) + M_ky_kz_k + M_ly_lz_l. \end{aligned}$$

Положим, что на начальном участке движения в атмосфере БЛА не имеет асимметрий формы НП и МГХ. Такое состояние достигается высокоточной обработкой НП БЛА и проведением коррекции МГХ изделия на специализированном оборудовании относительно прогнозируемого направления равнодействующей вектора аэродинамических сил. В результате выполнения этой процедуры все МГХ БЛА имеют допустимые значения. В «идеальном» состоянии БЛА войдет в атмосферу с близкими к нулю углами атаки, что обеспечит ему на начальном участке траектории малые значения угловых скоростей и угловых ускорений вдоль поперечных осей координат. По мере нарушения симметрии НП, отклонения параметров НП и МГХ изделия будут постепенно нарастать, симметрия обтекания нарушится и изделие приобретет угловые  $\dot{\varpi}_x, \dot{\varpi}_y, \dot{\varpi}_z$  и линейные  $\dot{V}_{Px}, \dot{V}_{Py}, \dot{V}_{Pz}$  ускорения. В течение достаточно малого интервала времени ускорения не приведут к значительному изменению линейных и угловых скоростей  $V_{Px}, V_{Py}, \varpi_x, \varpi_y, \varpi_z$ . Запишем упрощенные выражения, связывающие вторые производные параметров движения и МГХ БЛА, с учетом особенностей движения изначально «симметричного» изделия, пренебрегая  $\varpi_y \varpi_x, \varpi_y \varpi_z, \varpi_x \varpi_z, \varpi_z^2, \varpi_x^2, \varpi_y^2, \varpi_y V_{Px}, \varpi_z V_{Py}, \varpi_x V_{Pz}, \varpi_x V_{Py}$  как величинами второго порядка малости и полагая  $J_y^P = J_z^P = J_\Pi^P = J_z^P$ ,  $|J_y^P - J_z^P| = 0$ ,  $|J_z^P - J_x^P| = |J_y^P - J_x^P| = J_\Pi^P$ .

Получим выражения, связывающие текущие значения ускорений с  $\rho_l, \varphi_l, \eta_l, \xi_l$ .

$$\begin{aligned} \dot{V}_{Px} &= \frac{1}{M} \sum_j F_x^{(j)} - \left( \frac{M_k}{M} z_k + \frac{M_l}{M} z_l \right) \dot{\varpi}_y + \left( \frac{M_k}{M} y_k + \frac{M_l}{M} y_l \right) \dot{\varpi}_z; \\ \dot{V}_{Py} &= \frac{1}{M} \sum_j F_y^{(j)} - \left( \frac{M_k}{M} x_k + \frac{M_l}{M} x_l \right) \dot{\varpi}_z + \left( \frac{M_k}{M} z_k + \frac{M_l}{M} z_l \right) \dot{\varpi}_x; \\ \dot{V}_{Pz} &= \frac{1}{M} \sum_j F_z^{(j)} - \left( \frac{M_k}{M} y_k + \frac{M_l}{M} y_l \right) \dot{\varpi}_x + \left( \frac{M_k}{M} x_k + \frac{M_l}{M} x_l \right) \dot{\varpi}_y; \\ \dot{\varpi}_x &= \left[ \begin{array}{l} \sum_j m_{Px}^{(j)} - \left( \frac{M_k}{M} y_k + \frac{M_l}{M} y_l \right) \sum_j F_z^{(j)} + \left( \frac{M_k}{M} z_k + \frac{M_l}{M} z_l \right) \sum_j F_y^{(j)} - \\ \left( \xi_l \left( J_z^L Z - J_x^L X \right) + \xi_\kappa \left( J_z^K Z - J_x^K X \right) + M_k x_\kappa z_\kappa + M_l x_l z_l - \right. \\ \left. - \left( x_k z_k \left( 1 - \frac{M_k}{M} \right) M_k - \left( x_k z_l - x_l z_k \right) \frac{M_k M_l}{M} + x_l z_l \left( 1 - \frac{M_l}{M} \right) M_l \right) \right) \dot{\varpi}_z - \times \frac{1}{J_x^P}; \\ \left. \left( \varphi_l \left( J_y^L Y - J_x^L X \right) + \varphi_\kappa \left( J_y^K Y - J_x^K X \right) - M_k x_\kappa y_\kappa - M_l x_l y_l + \right. \right. \\ \left. \left. + \left( x_k y_k \left( 1 - \frac{M_k}{M} \right) M_k - \left( x_k y_l - x_l y_k \right) \frac{M_k M_l}{M} + x_l y_l \left( 1 - \frac{M_l}{M} \right) M_l \right) \right) \dot{\varpi}_y \right] \\ \dot{\varpi}_y = \left[ \begin{array}{l} \sum_j m_{Py}^{(j)} - \left( \frac{M_k}{M} z_k + \frac{M_l}{M} z_l \right) \sum_j F_x^{(j)} + \left( \frac{M_k}{M} x_k + \frac{M_l}{M} x_l \right) \sum_j F_z^{(j)} + \\ \left( \varphi_l \left( J_z^L Y - J_x^L X \right) + \varphi_\kappa \left( J_z^K Y - J_x^K X \right) - M_k x_\kappa y_\kappa - M_l x_l y_l + \right. \\ \left. + x_k y_k \left( 1 - \frac{M_k}{M} \right) M_k - \left( x_k y_l - x_l y_k \right) \frac{M_k M_l}{M} + x_l y_l \left( 1 - \frac{M_l}{M} \right) M_l \right) \dot{\varpi}_x \end{array} \right] \times \frac{1}{J_y^P}; \end{aligned}$$

$$\dot{\varpi}_z = \left[ \sum_j m_{Pz}^{(j)} + \left( \frac{M_k}{M} y_k + \frac{M_l}{M} y_l \right) \sum_j F_x^{(j)} - \left( \frac{M_k}{M} x_k + \frac{M_l}{M} x_l \right) \sum_j F_y^{(j)} - \right. \\ \left. - \begin{pmatrix} \xi_l \left( J_z^L - J_x^L \right) + \xi_k \left( J_z^K - J_x^K \right) + M_k x_k z_k + M_l x_l z_l - \\ - x_k z_k \left( 1 - \frac{M_k}{M} \right) M_k + \left( x_k z_l - x_l z_k \right) \frac{M_k M_l}{M} - x_l z_l \left( 1 - \frac{M_l}{M} \right) M_l \end{pmatrix} \dot{\varpi}_x \right] \times \frac{1}{J_z^P}.$$

Полученные выражения могут использоваться для получения оценок значений кинематических параметров и их производных в зависимости от взаимного положения груза относительно платформы БЛА.

### Литература

1. Костров, А.В. Движение асимметричных баллистических аппаратов / А.В. Костров. – М.: Машиностроение, 1984. – 272 с.
2. Иванов, Н.М. Движение космических летательных аппаратов в атмосфере планет / Н.М. Иванов, А.И. Мартынов. – М.: Наука. Главная редакция физико-математической литературы, 1985. – 384 с.
3. Фаворин, М.В. Моменты инерции тел: справ. / М.В. Фаворин; под ред. М.М. Гернета. – Изд. 2-е, перераб. и доп. – М.: Машиностроение, 1977. – 511 с.
4. Механика промышленных роботов: учеб. пособие для втузов. В 3 кн. Кн. 1: Кинематика и динамика / Е.И. Воробьев, С.А. Попов, Г.И. Шекелева; под ред. К.В. Фролова, Е.В. Воробьева. – М.: Высш. шк. – 304 с.
5. Мокин, Ю.А. Влияние малых углов атаки и скольжения на момент крена при гиперзвуковом обтекании тел вращения / Ю.А. Мокин // Теплофизика и аэромеханика. – 2009. – Т. 16, № 1. – С. 37–42.

**Федоров Виктор Борисович.** Кандидат технических наук, доцент кафедры «Автоматизация механосборочного производства», Южно-Уральский государственный университет (Челябинск). Тел.: (351) 267-97-74; vbf64@mail.ru.

---

**Bulletin of the South Ural State University  
Series “Mechanical Engineering Industry”  
2013, vol. 13, no. 2, pp. 68–74**

---

## MATHEMATICAL MODEL OF BALLISTIC VEHICLE WITH VARIABLE INERTIAL PARAMETERS

*V.B. Fedorov, South Ural State University, Chelyabinsk, Russian Federation, vbf64@mail.ru*

Dynamic model of symmetrical ballistic vehicle with variable inertial parameters is offered. Vehicle has two parts – platform and payload.

*Keywords:* ballistic vehicle, dynamic model, variable inertial parameters.

*Поступила в редакцию 10 июля 2013 г.*